

МЕТАЛЛИЧЕСКИЕ ПОВЕРХНОСТИ И ПЛЁНКИ

PACS numbers: 73.50.Bk, 73.50.Gr, 73.50.Lw, 73.61.At, 73.90.+f, 81.40.Rs

Внесок температурных эффектов у термічний коефіцієнт опору багатошарових плівкових систем

С. І. Проценко, О. В. Синашенко, А. М. Чорноус

*Сумський державний університет,
вул. Римського-Корсакова, 2,
40007 Суми, Україна*

На основі аналізу відомих теоретичних моделів і експериментальних результатів для термічного коефіцієнта опору (ТКО) багатошарових плівкових систем зроблено висновок про певний внесок у величину ТКО так званих температурних ефектів у параметрах електроперенісу. Запропоновано напівфеноменологічний модель, який враховує ці ефекти, та здійснено його апробацію.

На основе анализа известных моделей и экспериментальных результатов для термического коэффициента сопротивления (ТКС) многослойных пленочных систем сделан вывод об определенном вкладе в величину ТКС так называемых температурных эффектов в параметрах электропереноса. Предложена полуфеноменологическая модель, которая учитывает эти эффекты, и произведена ее апробация.

The conclusion about a certain contribution of temperature effects to the value of thermal coefficient of resistance (TCR) is proposed on the basis of known models and experimental results for the TCR of multilayered film systems. The semi-phenomenological model taking into account these effects is suggested and experimentally tested.

Ключові слова: багатошарові плівкові системи, термічний коефіцієнт опору, параметри електроперенісу, межі поділу, кінетичні явища.

(*Отримано 1 листопада 2005 р.*)

1. ВСТУП

Розмірні ефекти (РЕ) в електрофізичних властивостях багатошарових, в тому числі, і двошарових, плівкових систем на відміну від одиношарових плівок (див., наприклад, [1]), вивчені недостатньо, хоча в останні 20 роках цій проблемі приділяється велика увага. Це

пов'язано з тією обставиною, що багатошарові плівкові системи загального типу або періодичні (мультишари) мають більш широке практичне застосування в мікроелектроніці та інших областях приладобудування, ніж одношарові плівки. Переїзд від одно- до багатошарової плівки обумовлює вплив на кінетичні явища нових факторів на межі поділу (МП) шарів (дифузійні процеси, фазоутворення, макронапруження термічного походження, міжшарові переходи електронів та ін.), що дуже ускладнює побудову теоретичних моделей РЕ, які б добре узгоджувалися з експериментальними результатами.

Цикл робіт Варкуша і Дімміха [2–4] по суті є першими роботами, в яких запропоновано теоретичні напівкласичні моделі РЕ в електропровідності (σ) та в розрахунку термічного коефіцієнта опору (ТКО) для дво- та багатошарових плівкових структур. Зразу ж після появи цих робіт деякі автори [5–9] здійснили аналіз або апробацію теоретичних моделей для провідності і ТКО (важливо підкреслити, що величина ТКО експериментально вимірюється зі значно більшою точністю у порівнянні з провідністю σ). Поряд з цим, ряд авторів запропонували свої феноменологічні [10, 11] або напівкласичні [12, 13] моделі, в яких здійснено спробу врахувати вплив на величину ТКО фазоутворення у вигляді проміжного шару на МП [11] (див. також [14, 15]) або дифузійних процесів [11, 12].

Основні положення напівкласичних моделей для ТКО двошарових плівок [4, 13] можна сформулювати таким чином: двошарова плівка розглядається як паралельне з'єднання двох провідників із провідністю σ_i і товщиною d_i ($i = 1, 2$); зовнішнє поверхневе та внутрішнє зерномежове розсіяння елекtronів описуються, виходячи з теоретичних уявлень моделей Фукса–Зондгеймера і Маядаса–Шатцкеса (див., наприклад, [1]); розсіяння елекtronів на МП описується за допомогою коефіцієнтів розсіяння (P_i) та проходження (Q_i).

Співвідношення для ТКО (β) в рамках теорії Дімміха [4] має вигляд

$$\begin{aligned} \beta = A_1 & \left[\beta_{01} \left(1 - \frac{k_1}{F_1} \frac{\partial F_1}{\partial k_1} - \frac{m_1}{F_1} \frac{\partial F_1}{\partial m_1} + \frac{a}{F_1} \frac{\partial F_1}{\partial a} \right) - \right. \\ & \left. - \beta_{02} \left(\frac{k_2}{F_1} \frac{\partial F_1}{\partial k_2} + \frac{m_2}{F_1} \frac{\partial F_1}{\partial m_2} + \frac{a}{F_1} \frac{\partial F_1}{\partial a} \right) \right] + A_2 \left[\beta_{02} \left(1 - \frac{k_2}{F_2} \frac{\partial F_2}{\partial k_2} - \frac{m_2}{F_2} \frac{\partial F_2}{\partial m_2} - \frac{a}{F_2} \frac{\partial F_2}{\partial a} \right) - \right. \\ & \left. - \beta_{01} \left(\frac{k_1}{F_2} \frac{\partial F_2}{\partial k_1} + \frac{m_1}{F_2} \frac{\partial F_2}{\partial m_1} - \frac{a}{F_2} \frac{\partial F_2}{\partial a} \right) \right], \end{aligned} \quad (1)$$

де β_{0i} — ТКО масивних монокристалів (при апробації моделю більш правильним буде використовувати замість β_{0i} величину β_{gi} , яка визначається як $\beta_{gi} \equiv \beta_{\infty i} \equiv \lim_{d_i \rightarrow \infty} \beta_i$);

$$A_i = \frac{d_i \sigma_{0i} F_i}{\sum_{i=1}^2 d_i \sigma_{0i} F_i}$$

— статистична вага внеску i -го шару в загальну величину ТКО (σ_{0i} — питома провідність масивного зразка); F_i — функція Фукса, яка визначає вплив товщин шарів на провідність двошарової плівки; $k_i = d_i / \lambda_{0i}$ (λ_{0i} — середня довжина вільного пробігу електронів — СДВП) та $m_i = L_i / \lambda_{0i}$ — зведені товщина і середній розмір кристалітів (L — середній розмір кристалітів); a — параметр моделю Дімміха, величину якого складно оцінити теоретично чи визначити експериментально.

У співвідношенні (1) похідні F_i по k_i чи m_i відповідають за електрофізичні властивості i -го шару, а перехресні похідні пов'язані з міжшаровими переходами електронів. Для експериментальної перевірки теорії Дімміха [4] (див., наприклад, [6, 16]) проведено спрощення співвідношення (1). При цьому припускалось, що похідні типу F_i по k_j , m_j , a дорівнюють нулю, оскільки перехресні похідні будуть дорівнювати нулю за умови, що коефіцієнт проходження МП шарів або дорівнює одиниці (але λ_{0i} стає рівною λ_{0j}), або дорівнює нулю (відсутні міжшарові переходи електронів), а параметр a можна вважати константою, яка не залежить від товщини.

Якщо виконати розрахунок величини ТКО двошарових плівок з урахуванням всього сказаного вище, то її розходження з експериментальними даними $(\beta - \beta_{\text{рас}})/\beta$ складатиме величину до 70% в залежності від конкретної плівкової системи (більш детально див. роботи [6, 8, 9, 16]). Однією з причин вказаного розходження може бути утворення проміжного шару на МП у вигляді твердих розчинів чи інтерметалідних фаз. Автори роботи [11] на прикладі двошарових плівок CuNi/NiCr здійснили оцінку внеску процесів фазоутворення у величини ρ і β . Згідно з їхніми даними величина ρ змінюється на величину порядку 10% (наприклад, у системі CuNi (100 нм)/CuNi (1000 нм)/NiCr (100 нм) утворюються дві дифузійні зони, кожна із яких обумовлює зменшення ρ на 8% і 9,4% та відповідно — збільшення β).

Інша причина невідповідності експериментальних та розрахованих результатів пов'язана з процесами взаємної зерномежової дифузії, які призводять до зміни коефіцієнтів проходження і розсіяння на межі зерен (МЗ) і МП, та потребує окремого обговорення в рамках іншої роботи. Тут необхідно відмітити, що за рахунок дифузії чужих атомів по МЗ змінюються умови зерномежового розсіяння у бік як покращення, так і погіршення прозорості [17], а величина ТКО, згідно з даними [18, 19], зменшується на 10–15%.

Неврахування розсіяння носіїв заряду на МП за рахунок занулення при спрощенні (1) перехресних похідних є наступним фактором

неспівпадання експериментальних та розрахованих даних ТКО. Асимптотичні співвідношення для ТКО в рамках моделю [13] більш коректно враховують розсіяння на МП, хоча і в цьому випадку узгодження теорії з експериментом може досягати 30–40%.

Таким чином, можна зробити висновок, що навіть при дії всіх розглянутих факторів (поверхневого і зерномежового розсіяння, фазоутворення, дифузії чужих атомів по МЗ, інтерфейсу та ін.) повинна б мати місце краща відповідність між розрахованою і експериментальною величинами ТКО. При цьому зауважимо, що в роботах [6, 8, 9, 13, 16] досліджувалися також плівкові системи, які мають надзвичайно малу об'ємну розчинність і не утворюють проміжних фаз. Ми приходимо до висновку, що в обговорюваній проблемі не всі фактори, які впливають на величину ТКО, враховані. Зауважимо, що аналогічна ситуація мала місце при досліджені явища тензорозподілу, коли узгодити розраховані та експериментальні величини в межах 1–30% вдалося [20, 21] лише при допущенні про вплив на них деформаційних ефектів (залежності коефіцієнтів дзеркальності (p), проходження МЗ (r) та МП шарів (Q) від деформації).

У зв'язку з цим метою даної роботи є розробка та апробація напівфеноменологічного моделю для ТКО багатошарових плівкових систем із врахуванням температурних ефектів в параметрах електроперенесення p , r та Q , чого не було ще зроблено в жодній із відомих робіт. Відмітимо, що у рамках напівкласичного моделю досить складно отримати робоче співвідношення, яке б враховувало зміну з температурою середньої довжини вільного пробігу, параметра дзеркальності та коефіцієнтів розсіяння і проходження межі.

2. ТЕОРЕТИЧНІ СПІВВІДНОШЕННЯ

Вихідні положення запропонованого моделю такі: багатошарова система моделюється як паралельне з'єднання n провідників, кожен з яких характеризується товщиною d_i , величиною СДВП λ_{0i} , ефективним коефіцієнтом дзеркальності p_i , коефіцієнтом проходження межі зерен r_i та коефіцієнтом проходження МП Q_{ij} (із i -го в j -й шар); температурні ефекти в параметрах електроперенесення враховуються відповідними термічними коефіцієнтами

$$\beta_{0i} = -\frac{d \ln \lambda_{0i}}{dT}, \quad \beta_{pi} = -\frac{d \ln p_i}{dT}, \quad \beta_{ri} = -\frac{d \ln r_i}{dT} \quad \text{та} \quad \beta_{Q_{ij}} = -\frac{d \ln Q_{ij}}{dT};$$

у залежності від співвідношення між товщинами окремих шарів d_i та СДВП λ_{0i} міжшарові переходи електронів можуть відбуватися між сусіднimi шарами (із i -го в $(i\pm 1)$ шарі) або декількома шарами (наприклад, i -го в $(i\pm 1)$ та $(i\pm 2)$ шарі); на межі поділу

шарів має місце як дифузійне відбиття електронів (коєфіцієнт відбиття $P_i \equiv p_i$), так і міжшарові переходи (коєфіцієнт проходження Q_{ij}); величини Q_{ij} та β_{Qij} приблизно дорівнюють величинам r_i та β_{ri} .

Останнє припущення мало місце в роботах [20, 21] і мотивувалося структурною подібністю МП шарів і МЗ. Більш вагомою підставою для цього можуть служити результати роботи [14], згідно з якими величина $Q + p \equiv 1$ (наприклад, на межі Au/Fe – 1,3; Au/Co – 0,8; Au/Ni – 1,2). Враховуючи, що точність визначення $Q + p$ складає 10%, а найбільш типові значення $p = 0,1\text{--}0,2$, ми приходимо до висновку, що величина $Q \geq 0,6\text{--}0,9$, що добре корелює із величиною r [21]. Таким чином, незважаючи на певну структурну відміну МЗ і МП, ймовірність тунелювання електрона через них приблизно однакова.

На рис. 1 представлена схема тришарової плівки, яка не обмежує аналізу в самому загальному випадку, з можливими варіантами розсіяння та міжшаровими переходами електронів. Розглядаючи таку систему, по аналогії з [2–4, 12, 13, 20], як паралельне з'єднання, можна записати співвідношення

$$\frac{1}{R} = \frac{a}{l} (d_1 \sigma_{01} F_1 + d_2 \sigma_{02} F_2 + d_3 \sigma_{03} F_3).$$

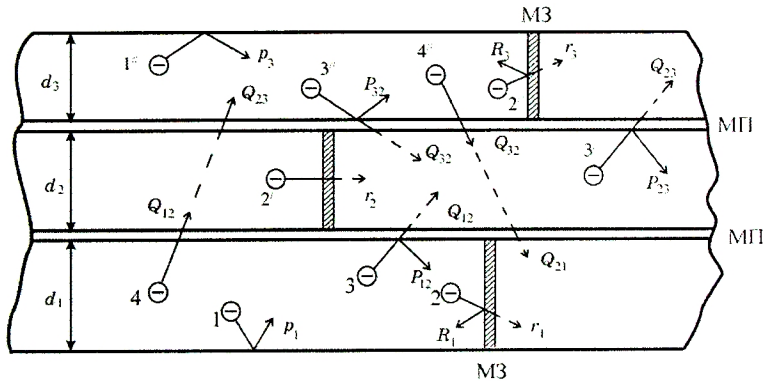


Рис. 1. Схема розсіяння і міжшарових переходів електронів: 1, 1'' — поверхневе розсіяння (в загальному випадку $p_1 = p_2$); 2, 2', 2'' — зерномежове розсіяння (в загальному випадку $r_1 \neq r_2 \neq r_3$); 3, 3', 3'' — розсіяння і проходження межі поділу ($P_{12} \equiv p_1$; $P_{23} \equiv p_2$; $P_{32} \equiv p_3$; $Q_{12} = Q_{21}$; $Q_{23} = Q_{32}$); 3, 3', 3'' — міжшарові переходи при $\lambda_{01,2} \equiv 1/2(d_1 + d_2)$; 4, 4'' — міжшарові переходи при $\lambda_{01,3} \equiv d_2 + 1/2(d_1 + d_3)$.

Після логарифмування та диференціювання по температурі цей вираз перетворюється в наступний:

$$\beta = A_1 \left(\alpha_1 - \frac{\partial \ln \sigma_{01}}{\partial T} - \frac{\partial \ln F_1}{\partial T} \right) + \dots + A_3 \left(\alpha_3 - \frac{\partial \ln \sigma_{03}}{\partial T} - \frac{\partial \ln F_3}{\partial T} \right), \quad (2)$$

де

$$\alpha_i = \frac{d \ln l}{dT}$$

— термічний коефіцієнт лінійного розширення (величина $\alpha_i \sim 10^{-6} \text{ K}^{-1}$ і тому нею можна знектувати у порівнянні з $\beta_{0i} \sim 10^{-3} \text{--} 10^{-4} \text{ K}^{-1}$). Крім того, відмітимо, що величина

$$-\frac{\partial \ln \sigma_{0i}}{\partial T} \cong \beta_{0i},$$

що буде враховано далі.

Для того, щоб врахувати температурні ефекти в коефіцієнтах p , r і Q , запишемо F_i як функцію параметрів k_i та m_i таким чином:

$$F_i = F_i \left[k_i (\lambda_{0i}, d_i, p_i, Q_{i(i\pm 1)}), m_i (\lambda_{0i}, L_i, r_i, Q_{i(i\pm 1)}) ; k_{i\pm 1} (\lambda_{0i\pm 1}, d_{i\pm 1}, p_{i\pm 1}, Q_{(i\pm 1)i}), m_{i\pm 1} (\lambda_{0i\pm 1}, L_{i\pm 1}, r_{i\pm 1}, Q_{(i\pm 1)i}) \right], \quad (3)$$

тобто пам'ятатимемо, що величина k_i визначається поверхневим розсіянням, а m_i — розсіянням на МЗ і, в силу зробленого нами припущення, на МП шарів. При такій формі запису (3) допускаються лише міжшарові переходи типу 3–3'' (рис. 1). У розгорнутому вигляді похідна $\partial \ln F_i / \partial T$ є такою:

$$\begin{aligned} \frac{\partial \ln F_1}{\partial T} = & \frac{\partial \ln F_1}{\partial \ln k_1} \frac{d \ln k_1}{dT} + \frac{\partial \ln F_1}{\partial \ln m_1} \frac{d \ln m_1}{dT} + \frac{\partial \ln F_1}{\partial \ln k_1} \frac{\partial \ln k_1}{\partial \ln p_1} \frac{d \ln p_1}{dT} + \\ & + \frac{\partial \ln F_1}{\partial \ln m_1} \frac{\partial \ln m_1}{\partial \ln r_1} \frac{d \ln r_1}{dT} + \frac{\partial \ln F_1}{\partial \ln k_1} \frac{\partial \ln k_1}{\partial \ln Q_{12}} \frac{d \ln Q_{12}}{dT} + \\ & + \frac{\partial \ln F_1}{\partial \ln k_1} \frac{\partial \ln k_1}{\partial \ln k_2} \frac{\partial \ln k_2}{\partial \ln p_2} \frac{d \ln p_2}{dT} + \frac{\partial \ln F_1}{\partial \ln m_1} \frac{\partial \ln m_1}{\partial \ln m_2} \frac{\partial \ln m_2}{\partial \ln r_2} \frac{d \ln r_2}{dT} + \quad (4) \\ & + \frac{\partial \ln F_1}{\partial \ln k_1} \frac{\partial \ln k_1}{\partial \ln k_2} \frac{\partial \ln k_2}{\partial \ln Q_{12}} \frac{d \ln Q_{12}}{dT} + \frac{\partial \ln F_1}{\partial \ln k_1} \frac{\partial \ln k_1}{\partial \ln k_2} \frac{d \ln k_2}{dT} + \\ & + \frac{\partial \ln F_1}{\partial \ln m_1} \frac{\partial \ln m_1}{\partial \ln m_2} \frac{d \ln m_2}{dT}. \end{aligned}$$

Після підстановки (4) і аналогічних співвідношень для F_2 і F_3 в (2) із урахуванням очевидних рівнань

$$\frac{\partial \ln F_i}{\partial \ln m_i} \equiv \frac{\partial \ln F_i}{\partial \ln k_i} = 1 - \frac{\beta_i}{\beta_{0i}}, \quad \frac{d \ln m_i}{dT} \equiv \frac{d \ln k_i}{dT} = \alpha_i + \beta_{0i},$$

$$\frac{\partial \ln m_i}{\partial \ln k_k} \equiv \frac{\partial \ln k_i}{\partial \ln k_k} = \frac{\beta_{0i}}{\beta_{0k}}$$

отримуємо робочу формулу для ТКО тришарової плівкової системи

$$\begin{aligned} \beta = A_1 & \left\{ \beta_{01} - \left(1 - \frac{\beta_1}{\beta_{01}} \right) \left[\left(2\beta_{01} + \beta_{r1} \frac{\partial \ln m_1}{\partial \ln r_1} + \beta_{p1} \frac{\partial \ln k_1}{\partial \ln p_1} + \beta_{Q_{12}} \frac{\partial \ln k_1}{\partial \ln Q_{12}} \right) + \right. \right. \\ & \left. \left. + \left(2\beta_{02} + \beta_{r2} \frac{\partial \ln m_2}{\partial \ln r_2} + \beta_{p2} \frac{\partial \ln k_2}{\partial \ln p_2} + \beta_{Q_{21}} \frac{\partial \ln k_2}{\partial \ln Q_{21}} \right) \frac{\beta_{01}}{\beta_{02}} \right] \right\} + \\ & + A_2 \left\{ \beta_{02} - \left(1 - \frac{\beta_2}{\beta_{02}} \right) \left[\left(2\beta_{02} + \beta_{r2} \frac{\partial \ln m_2}{\partial \ln r_2} + \beta_{p2} \frac{\partial \ln k_2}{\partial \ln p_2} + \beta_{Q_{21}} \frac{\partial \ln k_2}{\partial \ln Q_{21}} \right) + \right. \right. \\ & \left. \left. + \left(2\beta_{01} + \beta_{r1} \frac{\partial \ln m_1}{\partial \ln r_1} + \beta_{p1} \frac{\partial \ln k_1}{\partial \ln p_1} + \beta_{Q_{12}} \frac{\partial \ln k_1}{\partial \ln Q_{12}} \right) \frac{\beta_{02}}{\beta_{01}} \right] \right\} + \\ & + A_3 \left\{ \beta_{03} - \left(1 - \frac{\beta_3}{\beta_{03}} \right) \left[\left(2\beta_{03} + \beta_{r3} \frac{\partial \ln m_3}{\partial \ln r_3} + \beta_{p3} \frac{\partial \ln k_3}{\partial \ln p_3} + \beta_{Q_{32}} \frac{\partial \ln k_3}{\partial \ln Q_{32}} \right) + \right. \right. \\ & \left. \left. + \left(2\beta_{02} + \beta_{r2} \frac{\partial \ln m_2}{\partial \ln r_2} + \beta_{p2} \frac{\partial \ln k_2}{\partial \ln p_2} + \beta_{Q_{23}} \frac{\partial \ln k_2}{\partial \ln Q_{23}} \right) \frac{\beta_{03}}{\beta_{02}} \right] \right\}. \end{aligned} \quad (5)$$

Якщо врахувати міжшарові переходи 4, 4'' (рис. 1), то праву частину (5) необхідно доповнити двома доданками в дужках біля множників A_1 та A_3 . Крім того, відмітимо, що (5) легко розподілити на випадок довільної кількості шарів.

3. АПРОБАЦІЯ ТЕОРЕТИЧНИХ СПІВВІДНОШЕНЬ

Питання про температурну залежність параметрів електроперенесення постійно перебуває у полі зору дослідників (див., наприклад, [22–26]). Оскільки питомий опір плівок росте зі збільшенням температури, а $\lambda_0 \propto \rho^{-1}$, то величина СДВП повинна падати

з ростом температури, що спостерігається для плівкових і масивних зразків. Якщо поведінка СДВП з температурою ні в кого не викликає сумніву, то стосовно впливу температури на параметр дзеркальності зовнішніх поверхонь та коефіцієнт розсіяння (проходження) межі зерна інформація у літературі суперечлива. Так, на думку авторів [22, 23, 26] в області низьких температур ($T = 70\text{--}300\text{ K}$) розсіяння носіїв заряду на зовнішніх і внутрішніх межах практично не залежить від температури. При більш високих значеннях T має місце її вплив на параметри електроперенесення [24, 25]. Згідно з [24], величину коефіцієнта зерномежевого розсіяння можна подати у вигляді $R = R_0 + R(T)$, де R_0 — коефіцієнт розсіяння електронів на МЗ, пов'язаний з пружними зіткненнями та порушенням періодичного потенціалу ґратниці, $R(T)$ — температурозалежна частина коефіцієнта зерномежевого розсіяння. Останній доданок виникає, якщо на межі зерен плівки формуються мікропори внаслідок наявності вакансій у плівці [24]. Існування мікропор на МЗ призводить до інтенсивного коливання атомів у шарі зерна товщиною 1 нм поблизу межі. Збільшення амплітуди коливань з ростом температури буде викликати підвищення зерномежевого розсіяння. Не виключено, що на зовнішніх поверхнях зі збільшенням температури повинне зростати дифузне розсіяння, яке викличе зменшення коефіцієнта дзеркальності.

Дослідження впливу температури на параметри електроперенесення здійснювалось для плівок Cr, Cu і Sc, апробація (5) — для багатошарових плівкових систем на основі вказаних металів. Обґрутування вибору цих систем зроблено нами в [21] та обумовлено збереженням індивідуальності окремих шарів після термообробки і відсутністю у них домішкових фаз.

Плівки отримано методом конденсації парів металів у вакуумі $10^{-3}\text{--}10^{-4}\text{ Pa}$ при температурі підкладки $T_n = 300\text{ K}$. Термообробка зразків здійснювалась протягом трьох циклів «нагрівання—охолодження» в інтервалі 300–670 K. Електричний опір плівок вимірювався з точністю $\pm 0,06\%$ цифровим вольтметром APPA-109 (здійснювалось два вимірювання за секунду). Температура контролювалась за допомогою хромель-алюмелевої термопари і вольтметра UT-70B, що забезпечило точність $\pm 1\text{ K}$. Дані про опір і температуру в процесі вимірювання заносились у комп’ютер, що давало можливість отримати графіки залежності опору від температури, використовуючи які розрахувалась величина ТКО. Товщина плівок визначалась інтерферометричним методом (прилад МІІ-4) із реєстрацією зображення за допомогою цифрової камери Panasonic KXL-600A і комп’ютера та методом кварцового резонатора, що забезпечувало точність вимірювання $\pm 2\text{ nm}$.

При експериментальній перевірці співвідношення (5) краще за все похідні в правій частині подати таким чином:

$$\frac{\partial \ln m_i}{\partial \ln r_i} = \frac{r_i}{m_i} \frac{dm_i}{dr_i}, \quad \frac{\partial \ln k_i}{\partial \ln p_i} = \frac{p_i}{k_i} \frac{dk_i}{dp_i}. \quad (6)$$

Тоді очевидно, що термічні коефіцієнти і похідні dm_i/dr_i і dk_i/dp_i легко оцінити, якщо скористатися експериментальними залежностями ТКО від товщини для одношарових плівок (компонент багатошарової системи) при двох температурах T_1 і T_2 (рис. 2). Скориставшись лінеаризуванням співвідношенням та моделем ізотропного розсіяння (більш детально див. [1, 25]), можна отримати величини λ_{0i} , p_i і r_i при двох температурах. Це дає змогу обчислити термічні коефіцієнти і похідні (6) за такими робочими формулами:

$$\beta_p = \frac{1}{p(T_1)} \frac{p(T_2) - p(T_1)}{(T_2 - T_1)}, \quad \beta_r = \frac{1}{r(T_1)} \frac{r(T_2) - r(T_1)}{(T_2 - T_1)},$$

$$\frac{\Delta \ln k}{\Delta \ln p} = \frac{p(T_1)}{p(T_2) - p(T_1)} \frac{\frac{d}{\lambda_0}(T_2) - \frac{d}{\lambda_0}(T_1)}{\frac{d}{\lambda_0}(T_1)},$$

$$\frac{\Delta \ln m}{\Delta \ln r} = \frac{r(T_1)}{r(T_2) - r(T_1)} \frac{\frac{L}{\lambda_0}(T_2) - \frac{L}{\lambda_0}(T_1)}{\frac{L}{\lambda_0}(T_1)}.$$

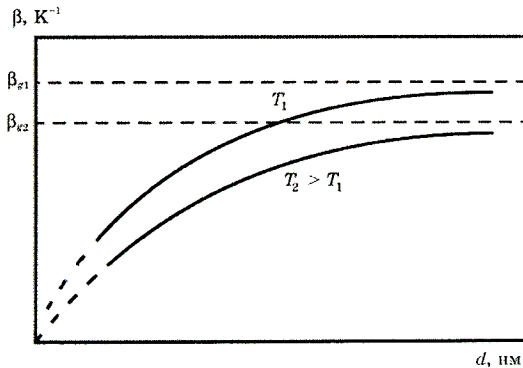


Рис. 2. Якісна залежність ТКО від товщини одношарової плівки при двох температурах.

ТАБЛИЦЯ 1. Температурні коефіцієнти параметрів електроперенесення для плівок Cu, Cr та Sc.

Плівка	d , нм	$\beta_p \cdot 10^3$, К $^{-1}$	$\beta_r \cdot 10^3$, К $^{-1}$	$\frac{\Delta \ln k}{\Delta \ln p}$	$\frac{\Delta \ln m}{\Delta \ln r}$
Cu	20		-2,49		0,67
	80	4,12	-5,81	-0,82	0,32
	140		-6,09		0,30
Cr	20		-0,06		9,90
	80	-0,65	-0,03	0,80	1,77
	140		-0,53		0,99
Sc	20		-0,51		0,37
	80	-1,65	-0,67	0,09	0,27
	140		-0,73		0,25

Відзначимо, що добутки $\beta_p \frac{d \ln k}{d \ln p}$ і $\beta_r \frac{d \ln m}{d \ln r}$ можна подати також у

ТАБЛИЦЯ 2. Порівняння експериментальних та розрахованих величин ТКО.

Плівкова система (d , нм)	$\beta \cdot 10^3$, К $^{-1}$		$\frac{\beta - \beta_{\text{поз}}}{\beta}, \%$
	Експеримент	Розрахунок	
Cu(20)/Cr(10)/П	1,35	1,4	3,7
Cu(30)/Cr(30)/П	1,64	1,61	1,8
Cr(25)/Cu(30)/П	1,59	1,56	1,9
Cr(25)/Cu(45)/П	1,73	1,97	13,8
Cu(48)/Cr(15)/П	2,22	2,23	0,5
Cu(48)/Cr(55)/П	2,58	2,05	20,5
Sc(18)/Cu(48)/П	2,10	1,67	20,4
Sc(65)/Cu(43)/П	1,90	1,50	21,0
Sc(93)/Cu(38)/П	1,69	1,32	21,9
Cu(40)/Cr(25)/Cu(55)/П	1,25	1,28	2,4
Cu(30)/Cr(25)/Cu(45)/П	1,35	1,10	18,5
Cr(20)/Cu(50)/Cr(35)/П	0,99	1,03	4,0
Cr(30)/Cu(30)/Cr(30)Cu(30)/П	1,83	2,05	12,0
Cu(22)/Cr(20)/Cu(22)/Cr(20)/П	1,60	1,70	6,3

вигляді відповідних термічних коефіцієнтів $\beta_k = \frac{d \ln k}{dT}$ та $\beta_m = \frac{d \ln m}{dT}$ і тому розрахувати їх можна також за такими робочими формулами:

$$\beta_k = \frac{1}{k(T_1)} \frac{k(T_2) - k(T_1)}{(T_2 - T_1)}, \quad \beta_m = \frac{1}{m(T_1)} \frac{m(T_2) - m(T_1)}{(T_2 - T_1)}.$$

Із даних табл. 1 витікає, що, по-перше, у плівках Cr і Sc має місце зменшення коефіцієнта дзеркальності зростом температури на відміну від плівок Cu, де він зростає. По-друге, зі збільшенням температури виникає підвищення зерномежевого розсіяння, що узгоджується з теоретичними уявленнями [24]. Потретє, термічні коефіцієнти параметрів електропренесення β_p і β_r є порядку $10^{-3} - 10^{-4} \text{ K}^{-1}$, тобто сумірні з величиною ТКО.

Про ступінь відповідності експериментальних даних ТКО розрахованим на основі співвідношення (5) можна судити із табл. 2. Як витікає з цих даних, запропонований модель в цілому добре описує експериментальні результати, оскільки розбіжність їх з експериментальною величиною $(\beta - \beta_{\text{пос}})/\beta$ складає не більше 22%. Враховуючи це, нами здійснено комп'ютерне моделювання розмірних залежностей у вигляді тривимірних діяграм (рис. 3). Підкреслимо, що при фіксованій товщині базового шару ми отримуємо аналог діяграм, які раніше було описано в роботі [21] для коефіцієнтів тензоручутливості. Їх характерною особливістю є те, що в залежності від співвідношення між β_{gi} та β_{gi+1} величина ТКО плівки буде збільшуватися при збільшенні загальної товщини (за умови $\beta_{gi} < \beta_{gi+1}$) або збільшення зміниться на зменшення при переході до другого шару (за умови $\beta_{gi} > \beta_{gi+1}$).

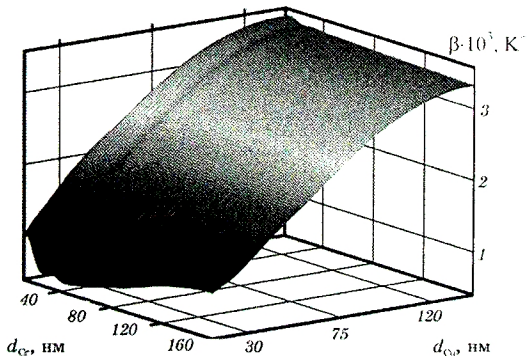


Рис. 3. Тривимірні діяграми для ТКО тришарової плівки Cu/Cr/Sc(30)/П.

4. ВИСНОВКИ

Отримано співвідношення для температурного коефіцієнта опору багатошарових полікристалічних плівок у рамках напівфеноменологічного підходу, який враховує температурні ефекти у параметрах електроперенесення. З використанням експериментальних величин коефіцієнтів розсіяння на зовнішніх та внутрішніх межах для одношарових плівок при різних температурах виконано розрахунок величини ТКО і порівняння її з експериментальними даними для дво- і багатошарових плівкових систем. Показано, що напівфеноменологічний модель дає узгодження експериментальних і розрахованих значень ТКО з точністю до 22%. Запропонований модель може бути використаний для прогнозу величини температурного коефіцієнта опору у дво- і багатошарових плівках.

Роботу виконано при частковому фінансуванні в рамках держбюджетної теми № 0103U000773 (2003–2005) Міністерства освіти і науки України.

ЦИТОВАНА ЛІТЕРАТУРА

1. I. Ю. Проценко, В. А. Саєнко, *Тонкі металеві плівки (технологія та властивості)* (Суми: СумДУ: 2002).
2. R. Dimmich and F. Warkusz, *Thin Solid Films*, **109**, No. 2: 103 (1983).
3. R. Dimmich, *J. Phys. F: Met. Phys.*, **15**, No. 12: 2477 (1985).
4. R. Dimmich, *Thin Solid Films*, **158**, No.1: 13 (1988).
5. J. W. C. de Vries and F. J. A. den Broeder, *J. Phys. F: Met. Phys.*, **18**, No. 12: 2635 (1988).
6. I. Protsenko, S. Petrenko, L. Odnodvoretz et al., *Cryst. Res. Technol.*, **30**, No. 8: 1077 (1995).
7. R. Banerjee, R. Ahuja, S. Swaminathan et al., *Thin Solid Films*, **269**, No. 1: 29 (1995).
8. M. Fenn, G. Akuetey, and P. E. Donovan, *J. Phys.: Condens. Matter.*, **10**: 1707 (1998).
9. M. Fenn, A. K. Petford-Long, and P. E. Donovan, *J. Magn. Magn. Mater.*, **198–199**: 231(1999).
10. G. Borodin, F. Gallerani, and A. Magnaterra, *Appl. Phys. A*, **50**, No. 2: 221 (1990).
11. W. Bruckner, J. Schumann, S. Baunack et al., *Thin Solid Films*, **258**, No. 3: 236 (1995).
12. Л. В. Дехтярук, Ю. А. Колесниченко, *ФММ*, **75**, № 5: 21 (1993).
13. Л. В. Dekhtyaruk, S. I. Protsenko, A. M. Chornous et al., *Ukr. J. Phys.*, **49**, No. 6: 587 (2004).
14. J. W. C. de Vries, *Solid State Commun.*, **65**, No. 3: 201 (1998).
15. M. Ishikama, H. Enmoto, N. Mikamoto et al., *Surf. Coat. Technol.*, **110**: 121 (1998).
16. I. Protsenko, L. Odnodvoretz, and A. Chornous, *Металлофіз. нове інше*

- технол.*, 20, № 1: 36 (1998).
- 17. Р. П. Волкова, Л. С. Палатник, А. Т. Пугачев, *ФТТ*, 24, № 4: 1161 (1982).
 - 18. Ю. М. Овчаренко, Н. М. Опанасюк, І. Ю. Проценко та ін., *УФЖ*, 14, № 7: 826 (1997).
 - 19. Т. П. Говорун, А. О. Степаненко, А. М. Чорноус, *ФХТТ*, 5, № 2: 280 (2004).
 - 20. O. Lasyuchenko, L. Odnodvoretz, and I. Protsenko, *Cryst. Res. Technol.*, 35, No. 3: 329 (2000).
 - 21. С. І. Проценко, А. М. Чорноус, *Металлофіз. новейшие технол.*, 25, № 5: 587 (2003).
 - 22. З. В. Стасюк, А. І. Лопатинський, *ФХТТ*, 2, № 4: 521 (2001).
 - 23. M. A. Angadi and L. A. Undachan, *Thin Solid Films*, 79, No. 2: 149 (1981).
 - 24. Ю. А. Волков, Р. П. Волкова, *ФТТ*, 37, № 12: 3687 (1995).
 - 25. И. Е. Проценко, *Изв. вузов. Физика*, № 6: 42 (1988).
 - 26. Б. И. Белевцев, Ю. Ф. Комник, В. И. Однокозов, *ФТТ*, 26, № 11: 3274 (1984).